

مطالعه پتروگرافی و ژئوشیمی سنگ‌های آتشفسانی قافلان کوه میانه (شمال غرب ایران)

امین‌اله کمالی^{*}، محسن مؤید^{*}، احمد جهانگیری، نصیر عامل، هادی پیروج و علی عامری
گروه زمین‌شناسی، دانشکده علوم طبیعی، دانشگاه تبریز، تبریز، ایران

چکیده

محدوده مورد مطالعه بخشی از نوار ماقمایی ترشیز البرز غربی-آذربایجان است. رخنمون‌های اصلی در ارتفاعات قافلان کوه (جنوب شرق میانه) شامل تناوی از گدازه‌های آندزیتی، آندزیت‌بازالتی، تراکی آندزیت و توفهای وابسته است. این مجموعه توسط گنبدهای اسیدی و در برخی نقاط توسط روانه‌های اسید و ایگمبریت پوشیده می‌شوند. کانی‌شناسی اصلی گدازه‌ها شامل الیوین، کلینوپیروکسن، هورنبلند، بیوتیت، پلازیوکلاز، کوارتز و سانیدین بوده، بافت‌های متنوع هیالوپوروفیریک، میکرولیتیک پورفیری و گلومرو پورفیری را نشان می‌دهند. گدازه‌های بازیک تا حد واسط عمده‌ای در محدوده آندزیت‌بازالتی و سنگ‌های اسیدی در محدوده ریولیت قرار می‌گیرد. ماقمایی مولد سنگ‌های بازیک تا حد واسط کالک‌آلکالن با پتاسیم پایین و متالومینوس بوده، غنی‌شدگی مشخصی از LREE نسبت به HREE و نیز Sr و K و تهی‌شدگی محسوسی از Zr، Pr، P، Pb و Nb نشان می‌دهند. آنومالی منفی Ti، Nb و Ta در این سنگ‌ها مشابه ویژگی‌های سنگ‌های مرتبه با مناطق فرورانش است. این گدازه‌ها محصول تفریق ماقمای حاصل از ذوب‌بخشی گوشه‌ته غنی شده و با تاریخ ۱ تا ۵ درصد از منشأ گارنت لرزولیت بوده، تغییرات نسبت Nb/Th و Rb/Sr و حاکی از وجود فاز فلوگوپیت (رگه‌های گلیمریتی) در محل منشأ است. نسبت‌های بالای K/P (برابر ۱/۷ تا ۴/۶) و La/Nb (برابر ۲/۶۸ تا ۴/۴۳) نشانه آلایش ماقمایی مولد با سنگ‌های پوسته‌ای است. این مجموعه در یک محیط قوس ماقمایی حاشیه فعال قاره‌ای تکوین یافته‌اند.

واژه‌های کلیدی: آلایش، آندزیت بازالتی، ذوب‌بخشی، فرورانش، قافلان کوه

مقدمه

به صورت دایک‌های تغذیه‌کننده بوده است، تکاپوهای خروجی پالئوسن، شامل پاره‌ای از سنگ‌های آتشفسانی و یا آتشفسانی-رسوبی به طور عمده با ترکیب آندزیتی هستند. در البرز-آذربایجان، فعالیت‌های آتشفسانی ائوسن، شامل مجموعه‌های از سنگ‌های آذرآواری و

این محدوده بر اساس زون‌بندی نبوی (۱۳۵۵) در زون البرز-آذربایجان و بر اساس Alavi و همکاران (۱۹۹۷) در نوار ماقمایی البرز واقع شده است. در زمان پالئوزن، تکاپوهای آتشفسانی از نوع فوران شکافی و یا

میکروسکوپی تهیه شد. این مقاطع با میکروسکوپ Olympus مدل 8H2 و در آزمایشگاه سنگشناسی دانشگاه تبریز مطالعه و تصاویر میکروسکوپی آنها تهیه شد. تعداد ۹ نمونه سنگی سالم و تازه از نمونه‌های ALS - سنگی جدا شده، در آزمایشگاه شرکت Chemex در کشور کانادا آنالیز شدند. آنالیز عناصر اصلی بر اساس روش ICP-MS و با دقت برابر ۰/۰۱ درصد وزنی و عناصر کمیاب و نادر خاکی با دقت برابر ۱ ppm ۰/۰ انجام گرفته است.

زمین‌شناسی منطقه مورد مطالعه

سنگ‌های آتشفسانی قافلانکوه، در جنوب شرق میانه بین طول‌های جغرافیایی $10^{\circ} 23'$ و $45^{\circ} 0'$ و عرض‌های $39^{\circ} 24'$ و $22^{\circ} 50'$ شمالي واقع شده‌اند (شکل ۱).

سنگ‌های آذراوری از جمله قدیمی‌ترین واحدهای سنگی هستند که به‌طور وسیع در شرق، غرب و مرکز گسترش دارند. فعالیت‌های آتشفسانی ابتدایی، شدت انفجار بسیار بالایی داشته، نهشته‌های آذراوری مختلفی را تولید می‌کنند و با خروج روانه‌های گدازه ادامه می‌یابند. سنگ‌های آتشفسانی ائوسن در دو طرف رودخانه قزل‌اوزن و شمال شرقی منطقه توسط یکسری سنگ‌های ریولیتی تا داسیتی به صورت گنبدي قطع و در برخی نقاط توسط روانه‌های آنها پوشیده شده‌اند. بخش پایین گنبدها، پرلیت و بخش بالای آن سنگ‌های خروجی مطبق است. قرارگیری پرلیت در بخش پایین گنبدها بیانگر این واقعیت است که پس از خروج گدازه به صورت گنبد سیلیسی، آب ماغمای بخش‌های پایین گنبدها را فرا گرفته و سبب شده تا این بخش‌ها که ترکیب شیشه‌ای دارند، بر اثر آب‌گیری به پرلیت تبدیل شده و بخش‌های خارج از آب، همچنان

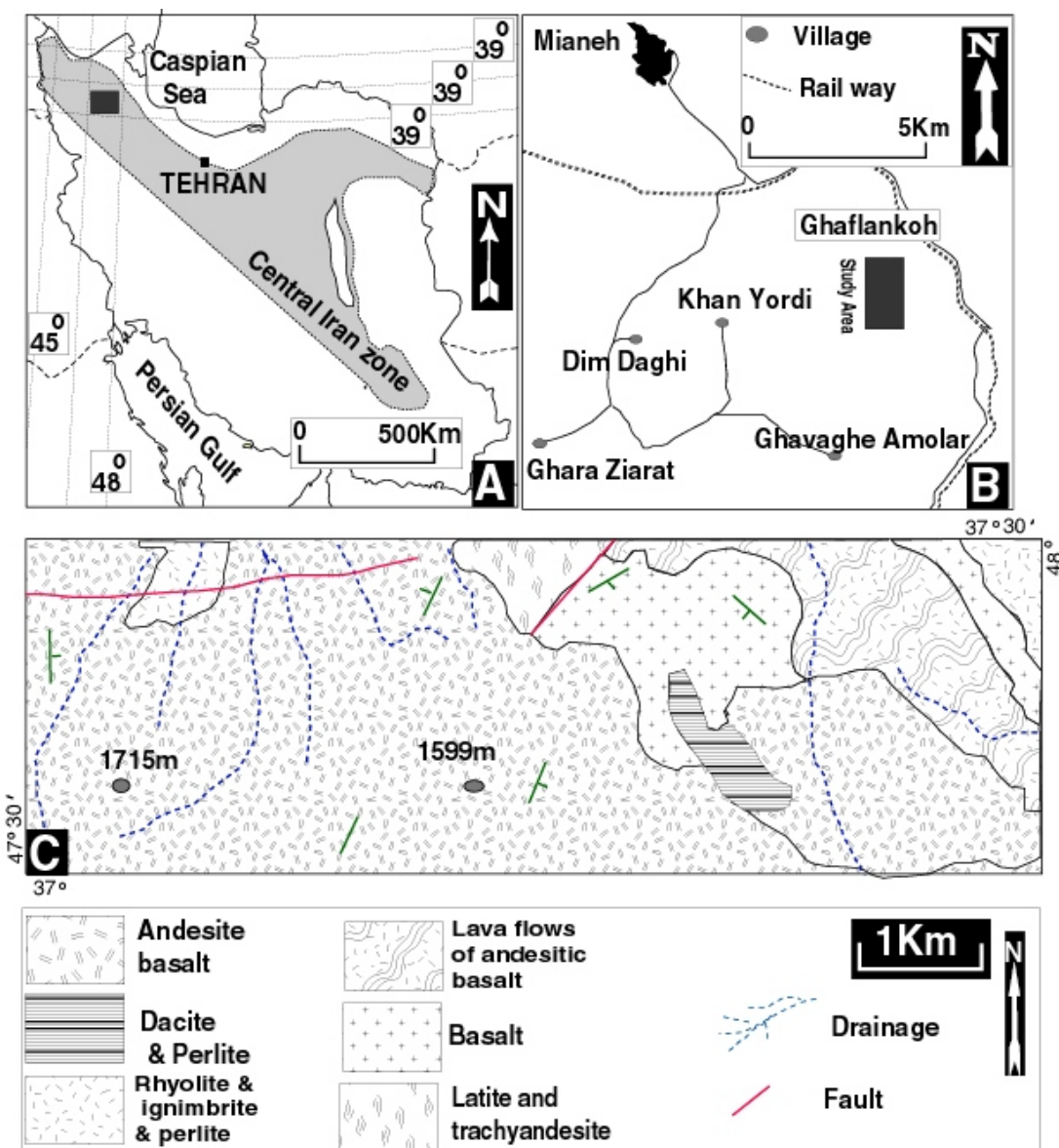
گدازه‌های دریایی است که به‌طور عمده سن ائوسن میانی، و در چینه‌شناسی ایران سازند کرج، نام دارند (آقاباتی، ۱۳۸۳). حرکت‌های کوهزایی پیرنئن که در اوخر ائوسن و اوایل الیگوسن روی داده، تأثیر در خور توجهی بر زمین‌شناسی ایران داشته است. در البرز - آذربایجان آتشفسان‌های ائوسن - الیگوسن شامل ریولیت (ازلی - میانه)، داسیت (میانه) آندزیت (تبریز) و تراکی آندزیت، لاتیت و بازالت (میانه) است. در پایان کرتاسه فاز لارامید در شمال غرب ایران، باعث بالا آمدن البرز و ارتفاعات سلطانیه شده است. پس از فاز فشاری لارامید، یک فاز کششی که نقطه اوج آن در ائوسن میانی بوده (فاز پیرنه)، در البرز باعث فعالیت مجدد گسل‌ها شده است. این فاز تکتونیکی در میانه، باعث بالا آمدن زمین‌ها و شکسته شدن و تشکیل حوضه‌های فروکششی الیگوسن و میوسن شده است (آقاباتی، ۱۳۸۳). پیشینه مطالعات صورت گرفته در این منطقه نشان می‌دهد که زمین‌شناسی منطقه از دیدگاه‌های مختلف (لطفی، ۱۳۵۴؛ حاج‌علیلو، ۱۳۸۵؛ کمالی و همکاران، ۱۳۸۹؛ کمالی و همکاران، ۱۳۸۹؛ kamali et al., 2010) مورد بررسی بوده است، اما این مجموعه همچنان نیازمند بررسی‌های گسترد و دقیق، بر پایه داده‌های ژئوشیمیایی است. مقاله حاضر بر اساس مشاهدات صحرایی، مطالعات پتروگرافی و داده‌های ژئوشیمیایی به روابط ژنتیک فازهای گوناگون مجموعه ولکانیک قافلان کوه می‌پردازد.

روش انجام پژوهش

مطالعات صحرایی این پژوهش شامل مطالعه ویژگی‌های زمین‌شناسی ساختمانی، لیتولوژی‌های موجود در منطقه و سنگ‌شناسی سنگ‌های قافلان کوه است. از نمونه‌های صحرایی تازه و سالم جمع آوری شده، مقاطع

سنگ‌ها اغلب دارای بافت جریانی ایگنمبریتی و فرسایش پوست‌پیازی هستند (شکل ۲-۶).

به صورت گدازه‌های مطابق با ساخت جریانی آشکار باقی مانند (Kamali *et al.*, 2010) (شکل ۲-a). این



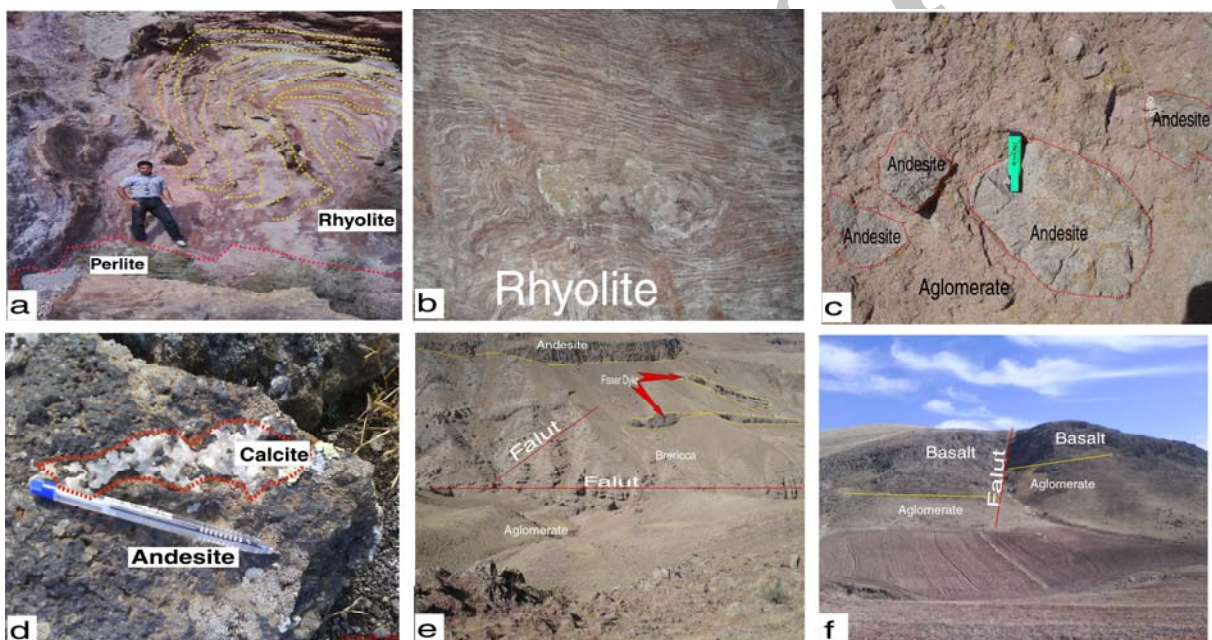
شکل ۱- (a) موقعیت محدوده مورد مطالعه، (b) راه‌های دسترسی به قافلانکوه، (c) نقشه زمین‌شناسی و لیتو‌لوژی‌های اصلی موجود در منطقه (اقتباس از نقشه زمین‌شناسی ۱:۱۰۰۰۰۰ میانه)

برش‌های آتشفسانی منطقه قطعاتی از سنگ‌های آندزیت بازالتی قرار دارند که کانی‌های درشت پلاژیوکلاز آن به یک سانتی‌متر می‌رسد (شکل ۲-۳). سنگ‌های آندزیت بازالتی و تراکی آندزیتی به رنگ خاکستری تا خاکستری تیره بوده، دارای فنوکریست‌های

فوران‌های انفجاری زیردریایی سبب تشکیل توف، آگلومرا و برش شده و سنگ‌های ایگنمبریتی، در محیط خشکی شده‌اند. توف‌ها عمدتاً خاکستری رنگ و ایگنمبریت‌ها به صورت ستبر و به رنگ قهوه‌ای با ساخت جوش‌خورده و جریانی مشاهده می‌شوند. در آگلومرا و

دارند. گسل‌های عادی آندزیت‌های بازالتی را قطع کرده، در حالی که گسل‌های معکوس در سنگ‌های پیروکلاستیکی دیده می‌شوند (شکل ۲-f). این حالت پیشنهاد می‌کند که ابتدا فوران‌های آتشفشانی به صورت سنگ‌های پیروکلاستیک ظاهر نموده‌اند و احتمالاً بر اثر فشار مagma گسل‌های معکوس سنگ‌های پیروکلاستیک را قطع کرده و سپس magma خارج شده و گدازه‌های آندزیت بازالتی را تشکیل داده است. سپس بر اثر تخلیه magma فروننشست منطقه مرکزی آتشفشانی گسل‌های نرمال شکل گرفته‌اند.

پلاژیوکلاز هستند. این گدازه‌ها حفره‌دار بوده، حفرات آن‌ها از محصولات ثانوی مانند کلسیت و کوارتز پرشده است (شکل ۲-d). همچنین، سنگ‌های پیروکلاستیک منطقه توسط یک سری دایک‌های تغذیه کننده قطع می‌شوند که این دایک‌ها تا سطح زیرین آندزیت‌های بازالتی ادامه دارند. کلیه منطقه تحت تأثیر گسل‌شده امتداد شمالی - جنوبی و شیب به سمت شرق بوده (شکل ۲-e)، در حالی که گسل‌های معکوس روند شمال‌شرق - جنوب‌غرب و شیب به سمت شمال‌غرب



شکل ۲-۲) a) زمین‌شناسی صحرایی، ساخت جریانی در ریولیت‌های منطقه و هوازدگی ریولیت‌های منطقه، b) ساخت جریانی در ریولیت‌های منطقه، c) قطعاتی از آندزیت درون آگلومرا، d) پرشدن حفرات آندزیت‌ها توسط کلسیت و کوارتز متبلور، e) نمایی از گسل‌های معکوس، f) نمایی از گسل نرمال که سنگ‌های پیروکلاستیک و بازالتی را قطع کرده است.

خاکستری و کانی‌های پورفیر پلاژیوکلاز در زمینه دانه ریز مشخص می‌شوند. مطالعات پتروگرافی نشان‌دهنده ساخت پورفیری با زمینه دانه ریز این سنگ‌هاست. سنگ‌های آندزیت‌بازالتی منطقه از لحاظ کانی‌شناسی شامل پلاژیوکلاز، پیروکسن، الیوین، و

کانی‌شناسی و پتروگرافی
به طور کلی، سنگ‌های آتشفشانی قافلان کوه، بیشتر در قالب روانه‌های گدازه‌ای آندزیت بازالتی، داسیت و ریولیت رخنمون یافته‌اند.

(الف) آندزیت بازالتی: در نمونه‌های دستی با رنگ

به رنگ خاکستری متمایل به صورتی هستند. ساخت نمونه‌ها پورفیری بوده، دارای فنوکریست آمفیبول و نیز حفراتی هستند که این حفرات به وسیله سیلیس و کلسیت پرشده‌اند.

سنگ‌های منطقه از لحاظ کانی‌شناسی شامل سانیدین، کوارتز، پلازیوکلاز، هورنبلنده، بیوتیت و کانی‌های کدر است. سانیدین، این کانی به دو صورت فنوکریست و میکرولیت شکل دار تا نیمه شکل دار دیده می‌شود و دارای ماکل کارلسbad هستند. همچنین، به صورت ریز در زمینه سنگ دیده می‌شوند (شکل ۳-f). کوارتز، به صورت فنوکریست و هم به صورت ریز بلور در متن سنگ دیده می‌شود. پلازیوکلاز به صورت فنوکریست، شکل دار تا نیمه‌شکل دار، اغلب زونه دیده می‌شود. آمفیبول‌های موجود از نوع هورنبلنده بوده، اکثر بلورهای هورنبلنده، شکل دار تا نیمه‌شکل دار و اپاسیته شده‌اند (شکل ۳-f). این رخداد که انعکاس برقراری شرایط نایاب‌دار برای کانی هورنبلنده در هنگام تبلور ماقمایی است، نوعی واکنش کانی با مذاب اطراف خود محسوب می‌شود؛ مذابی که کانی مزبور با آن در تعادل ترکیبی قرار ندارد. بیوتیت، این کانی به صورت شکل دار تا نیمه‌شکل دار و در اندازه‌های متوسط دیده می‌شود. در این سنگ‌ها کانی بیوتیت به رنگ قهوه‌ای سوخته؛ یعنی اکسی‌بیوتیت دیده می‌شود. کانی‌های کدر به مقدار درخور توجهی وجود دارد که برخی به صورت اولیه و شکل دار و برخی به صورت ثانویه دیده می‌شوند. بافت اصلی میکرولیت پورفیریک و بافت‌های فرعی بافت تراکیتی دیده می‌شود.

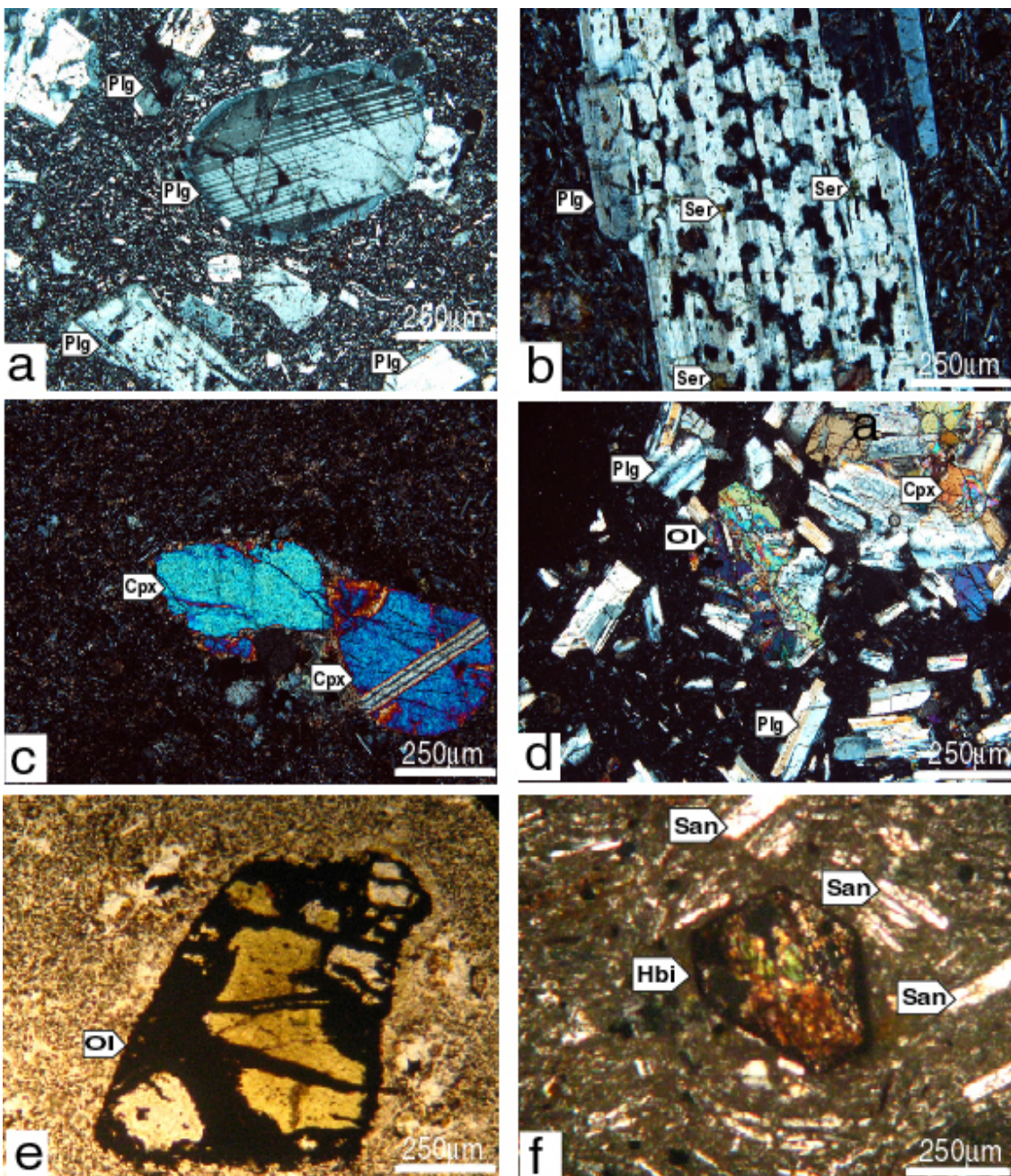
مطالعات پتروگرافی سنگ‌های آتشفشانی قافلانکوه نشان می‌دهد، این سنگ‌ها دارای دو مجموعه کانی‌شناسی مختلف، شامل مجموعه کانی‌های آبدار و مجموعه کانی‌های بدون آب هستند. بلورهای پلازیوکلاز،

کانی‌های کدر است. اندازه پلازیوکلازها متوسط تا درشت بوده، بیشتر به صورت فنوکریست، شکل دار تا نیمه‌شکل دار و دارای ماکل پلی‌سنتیک و منطقه‌بندی هستند (شکل‌های ۳-a و ۳-b). همچنین، پلازیوکلازها به صورت میکرولیت در زمینه دیده می‌شوند که این میکرولیت‌ها فنوکریست‌های موجود در زمینه را دور می‌زنند و در روندی خاص منظم شده، جهت جریان را نشان می‌دهند. این کانی نسبت به کانی‌های دیگر فراوانی بیشتری داشته و از نظر اندازه، هم به صورت فنوکریست و هم به صورت میکرولیت در زمینه یافت می‌شود (شکل ۳-a). بافت غربالی در اکثر نمونه‌های منطقه‌ی مورد مطالعه دیده می‌شود (شکل ۳-b). این بافت‌ها به تغییر ترکیب ماقمایی در حال تبلور بر اثر ورود ماقمایی تازه به داخل مخازن ماقمایی، کاهش فشار لیتواستاتیک بر اثر بالا آمدن ماقما و افزایش فشار بخار آب بر اثر صعود ماقما نسبت داده شده است (Nelson, 1992). پیروکسن‌ها اغلب به صورت فنوکریست و نیمه‌شکل دار و به رنگ سبز پریده دیده می‌شوند و دارای خواص نوری اوژیت هستند. در برخی از مقاطع نازک پیروکسن‌ها به صورت انباشتی دیده می‌شوند و بافت گلومروپورفیری تشکیل داده‌اند (شکل ۳-c). الیوین: به صورت فنوکریست نیمه‌شکل دار و غالباً به صورت فنوکریست‌های ایدینگزیتی شده دیده می‌شوند. گاهی شدت ایدینگزیتی شدن به اندازه‌ای است که فقط قالب این کانی باقی می‌ماند. تجمع بلورهای الیوین کنار هم بافت گلومروپورفیری را تشکیل می‌دهد. بافت‌های اصلی نمونه‌های مطالعه شده هیالو میکرولیتیک و میکرولیتیک پورفیریک است (شکل ۳-d و ۳-e).

(ب) داسیت و ریولیت: داسیت‌ها و ریولیت‌ها در نمونه‌های دستی خاکستری رنگ بوده، نمونه‌های هوازده

ویژگی‌های پتروگرافی نشان‌دهنده کاهش کانی الیوین از سنگ‌های آندزیت بازالتی است و افزایش کانی آمفیبول در سنگ‌های متوسط و اسیدی است که می‌تواند نشان‌دهنده نقش تبلور تفریقی باشد.

کلینوپیروکسن و الیوین (مجموعه بدون آب) سازنده اصلی آندزیت‌های بازالتی است. در سنگ‌های ریولیتی و داسیتی کانی‌های آب‌داری همچون آمفیبول، بیوتیت در کنار پلازیوکلаз، کوارتز و سانیدین مشاهده می‌شوند.



شکل ۳- (a) کانی‌های مختلف موجود در نمونه‌های آتششانی ماکل پلی‌سنتیک، زونینگ در پلازیوکلاز و بافت هیالومیکرولیتی پورفیریک (XPL)، (b) بافت غربالی در فنوكربیست پلازیوکلاز (XPL)، (c) ماکل در فنوكربیست‌های پیروکسن و بافت هیالومیکرولیتیک پورفیری (XPL)، (d) بافت گلومروپورفیری در الیوین (PPL)، (e) ایدینگزیتیه شدن الیوین (PPL)، (f) سانیدین، تجمع کانی‌های اکسیدی و حواشی سوخته هورنبلند و بافت میکرولیتیک پورفیری (XPL).

اکسیدها و عناصر کمیاب به صورت ضریب

همبستگی در جدول ۲ ارائه شده است. ضریب همبستگی (r) اگر $r=+1$ باشد، همبستگی خطی و مثبت وجود دارد. اگر $r=-1$ باشد همبستگی خطی و منفی وجود دارد. هنگامی که $r=0$ باشد، هیچ‌گونه همبستگی وجود ندارد.

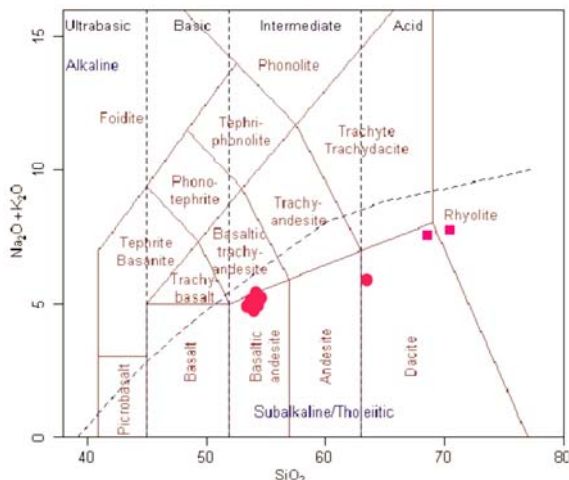
ژئوشیمی

نتایج تجزیه شیمیایی نمونه‌های قافلانکوه در جدول ۱ ارائه شده است. این نمونه‌ها در نمودار سیلیس در مقابل مجموع آلکالی‌ها در محدوده‌های آندزیت‌بازالتی، داسیت و ریولیت قرار می‌گیرند (شکل ۴). همبستگی بین SiO_2 و سایر

جدول ۱- تجزیه عناصر اصلی و کمیاب سنگ‌های آتشفشانی قافلانکوه به روش ICP-MS

Sample No.	K-4	k8	k10	k20	k26	k33	k34	k37	k6
(Wt%)									
SiO_2	68.50	62.20	53.00	53.60	53.30	52.90	53.20	53.20	66.90
Al_2O_3	15.85	16.10	18.45	20.60	20.10	20.50	20.10	20.10	16.05
Fe_2O_3	1.84	5.93	8.12	6.95	7.38	7.06	7.78	7.68	3.27
CaO	2.69	4.88	8.17	8.59	8.48	8.76	8.84	8.99	2.31
MgO	0.48	1.98	3.11	1.95	1.85	1.84	2.31	2.35	0.88
Na_2O	4.42	3.71	3.08	3.84	3.89	3.83	3.70	3.66	4.06
K_2O	3.21	2.05	2.20	1.26	1.32	1.26	1.27	1.24	3.25
TiO_2	0.35	0.69	1.00	0.97	1.02	0.96	0.97	0.96	0.35
MnO	0.05	0.13	0.15	0.09	0.09	0.09	0.10	0.10	0.04
P_2O_5	0.14	0.28	0.41	0.36	0.38	0.37	0.36	0.36	0.15
SrO	0.06	0.05	0.07	0.09	0.09	0.09	0.09	0.09	0.05
BaO	0.12	0.08	0.07	0.07	0.08	0.07	0.08	0.08	0.11
LOI	2.32	2.12	1.78	1.70	1.06	1.29	1.08	1.10	2.61
Total	100.00	100.00	99.60	100.00	99.00	99.00	99.90	99.90	100.10
(ppm)									
Ba	989	654	584	622	683	603	661	670	965
Ce	65	59.7	45.8	59.5	62.6	59.2	61.4	64.7	60.3
Co	2.4	11.8	22.6	12.9	14.6	13.9	15.1	15.9	3.1
Cs	1.53	11	1.45	1.4	0.69	0.99	0.88	0.89	1.23
Cu	11	18	93	41	43	44	33	34	<5
Dy	1.93	4.55	4.46	4.08	4.17	4.13	3.98	4.15	1.68
Er	1.17	2.89	2.62	2.43	2.46	2.52	2.52	2.48	1.01
Eu	0.93	1.34	1.48	1.48	1.64	1.5	1.49	1.44	0.79
Ga	17.1	18.4	20.4	19.5	19.5	19.5	19.5	19.7	15.7
Gd	3.3	5.28	5.11	4.95	5.16	4.89	4.91	5.03	2.9
Hf	4.8	5	3.3	3	3	2.9	2.9	2.9	4.1
Ho	0.37	0.93	0.9	0.84	0.83	0.82	0.82	0.82	0.34
La	39.3	31.3	22.7	32.7	35	32.4	35.9	36.8	37
Lu	0.19	0.42	0.36	0.32	0.33	0.35	0.35	0.34	0.16
Nb	20.6	14.6	9.8	13.9	15.1	14.2	13.5	13.7	21.4
Nd	21.9	21.6	23.6	25.5	27.9	25.4	25.7	26.6	20.6
Ni	6	11	12	8	10	8	11	18	<5
Pb	15	12	9	17	19	18	22	21	16
Pr	6.6	7.08	5.78	6.74	7.33	6.7	7.03	7.2	6.22
Rb	86.6	67.5	59.4	25.1	26	25.5	24.8	25.6	86.2
Sm	3.18	5.29	5.13	4.85	5.17	4.97	4.84	5.07	3.2
Sr	477	384	572	715	725	717	703	735	470
Ta	1.5	1	0.6	0.8	0.8	0.7	0.7	0.7	1.3
Tb	0.38	0.78	0.74	0.72	0.72	0.7	0.71	0.68	0.36
Th	9.81	9.04	4.42	6.06	6.55	5.94	6.52	6.67	9.67
Tm	0.16	0.43	0.37	0.35	0.35	0.33	0.34	0.34	0.15
U	3.5	2.23	1.18	1.21	1.27	1.17	1.23	1.25	3.66
V	13	75	182	186	205	193	209	205	23
W	1	2	1	1	1	1	1	1	3
Y	10.8	26	24.1	21.6	22.3	21.5	21.8	22.2	10.2
Yb	1.15	2.72	2.33	2.24	2.18	2.23	2.31	2.32	1.04
Zr	200	186	126	118	127	117	115	118	183

تفریق و تبلور عادی ماغما باشد. این امر می‌تواند نشانه تبلوربخشی کانی کلینوپیروکسن در طی تبلور ماغما باشد (Gouragaud and Vincent, 2003). تطابق منفی عناصر سازگار Co و Ni نیز نشانه تمرکز و ورود این عناصر در کانی‌های الیوین و پیروکسن در روند تفریق از ماقمای آندزیتی است. از طرفی، تطابق مثبت با SiO_2 با Rb و Ba نشان‌دهنده روند عادی تبلور و تفریق ماقمایست، در صورتی که به علت بالا بودن مقدار پلازیوکلاز به صورت درشت بلور و میکروولیت، این تطابق مثبت را می‌توان به این حالت نسبت داد. با توجه به همبستگی‌های مشاهده شده بین SiO_2 با اکسیدها و عناصر کمیاب صورت، می‌توان بیان داشت که سنگ‌های با ترکیب آندزیت بازالتی، ریولیتی و داسیتی دارای ارتباط ژنتیکی بوده، از ماقمای واحدی منشأ گرفته‌اند. این مسئله با در نظر گرفتن شواهد پتروگرافی و ژئوشیمیایی نشان‌دهنده نقش ویژه تبلور تفریقی نسبت به ذوب‌بخشی یا اختلاط ماقمایی در ایجاد تنوعات سنگی منطقه نیز تایید می‌شود و به عبارتی، نمونه‌های مورد بررسی هم ماقما (Comagmatic) است.



شکل ۴- طبقه‌بندی سنگ‌های آذرین منطقه (LeBas *et al.*, 1986) (سنگ‌های اسیدی با نماد مرغ و سنگ‌های آندزیت بازالتی با نماد دایره مشخص شده‌اند).

در نمونه‌های مورد مطالعه تطابق منفی بین SiO_2 با $\text{Na}_2\text{O} + \text{K}_2\text{O}$ ، Al_2O_3 ، TiO_2 ، CaO ، MgO ، Fe_2O_3 و Ni و تطابق مثبت بین SiO_2 با Ba ، Rb و K_2O ملاحظه می‌شود (شکل ۵؛ جدول ۲).

همبستگی مثبت SiO_2 در برابر K_2O بر اثر تفریق افزایش پیدا می‌کند. همچنین، همبستگی منفی SiO_2 در برابر CaO ، TiO_2 و MgO نیز می‌تواند شاخصی از

جدول ۲- ضرایب همبستگی عناصر اصلی و فرعی

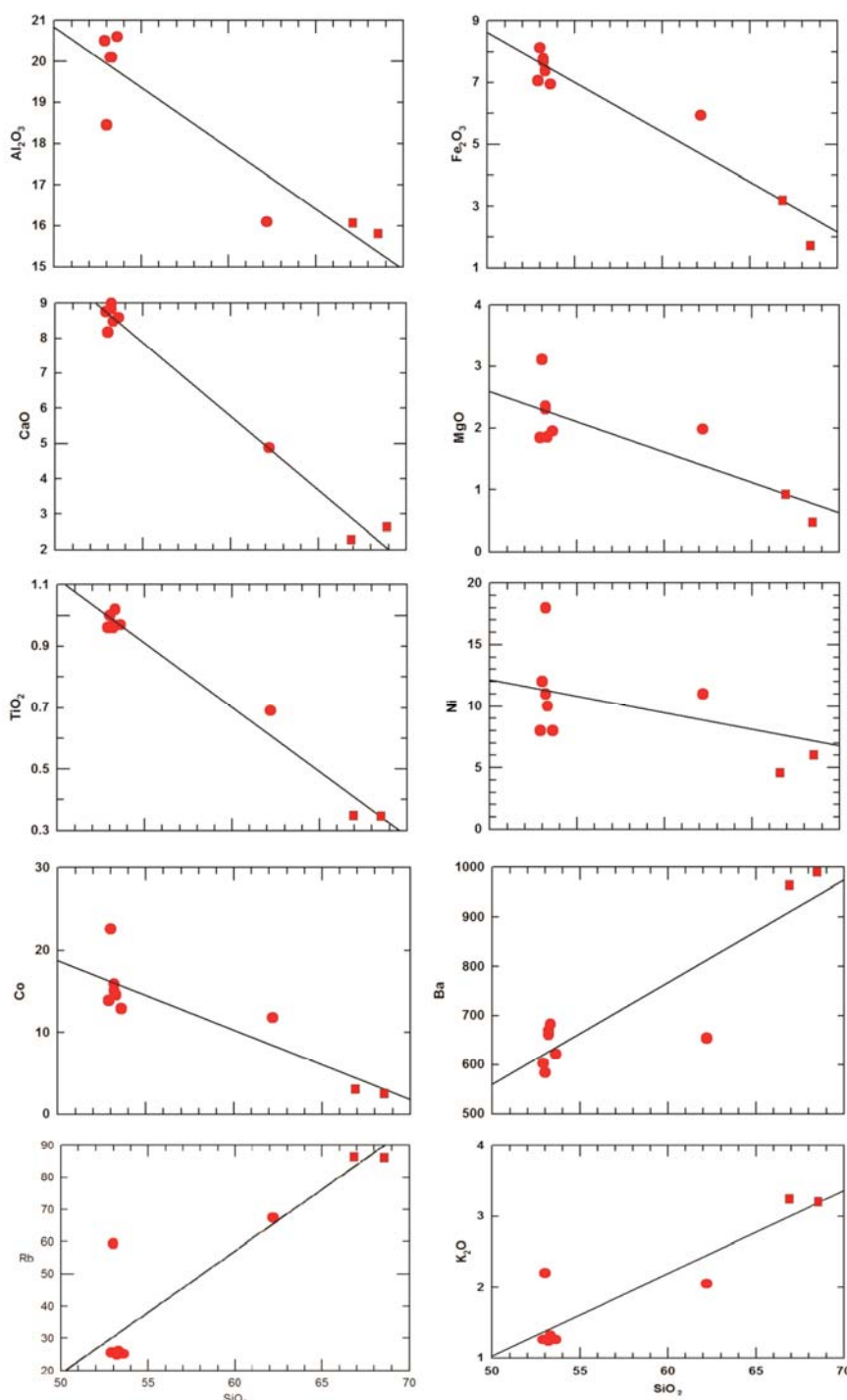
Sample	SiO_2	Al_2O_3	Fe_2O_3	CaO	MgO	TiO_2	Ba	Co	Nb	Ni	Rb	V	K_2O
SiO_2	1	-0.927	-0.958	-0.991	-0.823	-0.988	0.891	-0.881	0.86	-0.617	0.909	-0.992	0.865
Al_2O_3		1	0.8	0.942	0.564	0.888	-0.715	0.644	-0.617	0.455	-0.972	0.947	-0.895
Fe_2O_3			1	0.937	0.925	0.968	-0.939	0.94	-0.922	0.698	-0.82	0.939	-0.818
CaO				1	0.787	0.983	-0.876	0.849	-0.841	0.652	-0.938	0.993	-0.899
MgO					1	0.844	-0.888	0.977	-0.968	0.73	-0.565	0.779	-0.512
TiO_2						1	-0.925	0.903	-0.893	0.648	-0.893	0.978	-0.866
Ba							1	-0.905	0.945	-0.618	0.75	-0.845	0.748
Co								1	-0.978	0.715	-0.63	0.842	-0.535
Nb									1	-0.7	0.629	-0.813	0.53
Ni										1	-0.533	0.632	-0.394
Rb											1	-0.938	0.97
V												1	-0.888
K_2O													1

(شکل‌های ۷ و ۸) نیز روندهای مناسبی دیده می‌شود، در این دیاگرام‌ها عناصر Ba، Sr، U، K و Pb غنی‌شدگی نشان می‌دهند. در حالی که،

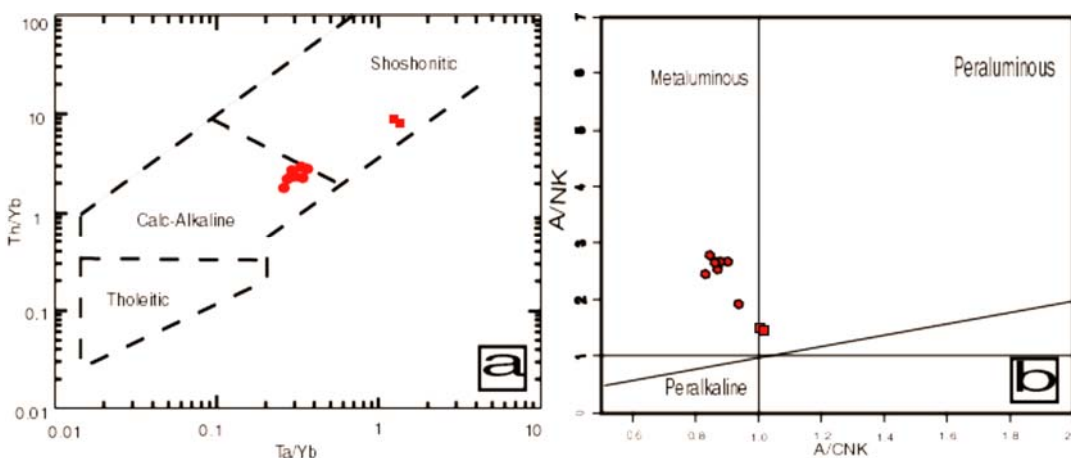
سنگ‌های آتشفسانی منطقه ماهیت کالک‌آلکالن، شوشنیتی (شکل ۶-a) و متا‌آلومین (شکل ۶-b) دارند. در الگوی عناصر کمیاب

متاسوماتیسم گوشه یا آلایش پوسته قاره‌ای باشد، آنمالی منفی Ti و Nb در سنگ‌های منطقه تأثیر فرورانش بر منابع گوشه‌ای را نشان می‌دهد (Soesoo, 2000).

عناصری مانند Zr, Eu, Nb, Ti و Ta تهی شدگی نشان می‌دهند. عناصر Th, Ba و K غنی شدگی را در سنگ‌های منطقه نشان می‌دهند. غنی شدگی عناصر فوق می‌تواند در ارتباط با فرایند



شکل ۵- نمودارهای مربوط به روند تعدادی از اکسیدهای اصلی و عناصر کمیاب سنگ‌های منطقه در مقابل (سنگ‌های اسیدی با نماد مربع و سنگ‌های آندزیت بازالتی با نماد دایره مشخص شده‌اند).

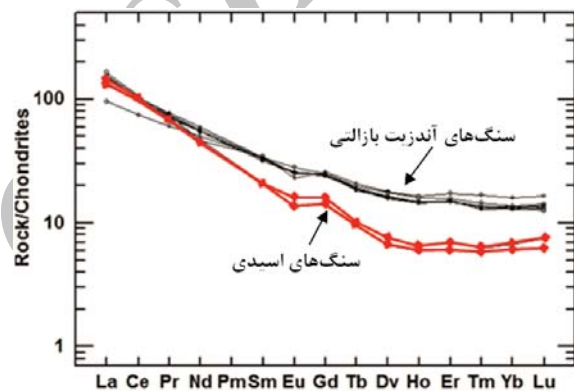


شکل ۶ - (a) نمودار تعیین سری ماقمایی (Pearce, 1982) Th/Yb - Ta/Yb به A/CNK برای تعیین اندیس آلومینیم سنگ‌های آذرین منطقه (Shand, 1943) (سنگ‌های اسیدی با مربع و سنگ‌های آندزیت با زانی با دایره مشخص شده‌اند).

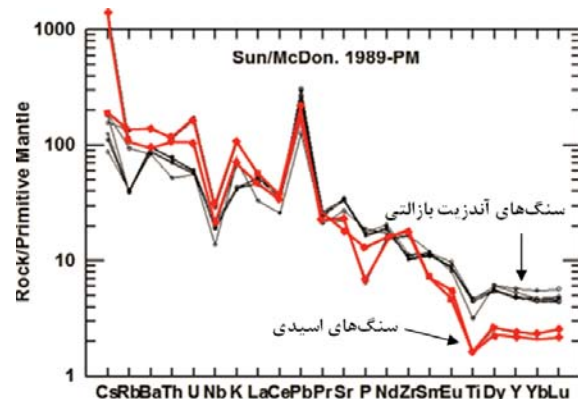
كمیاب سبک LREE غنی‌شدگی و از HREE تهی‌شدگی نشان می‌دهند. دو احتمال برای غنی‌شدگی LREE در نمونه‌های مورد مطالعه می‌توان در نظر گرفت: یکی این که این LREE‌ها تا حدی از HREE ناسازگارترند (Krauskopf and Bird, 1976) و ممکن است بر اثر تحولات ماقمایی در سنگ‌های تحول‌بافته منطقه متمرکز شده باشند. عامل دیگری که باعث غنی‌شدگی سنگ‌های یک ناحیه از LREE‌ها می‌شود، این است که این سنگ‌ها در مناطق فرورانش تشکیل شده باشند (Winter, 2001).

سنگ‌های مورد مطالعه به طور مشخصی غنی‌شدگی از عناصر LILE (مثلاً U و Ba) و تهی‌شدگی از عناصر HFSE (مثلاً Nb) را نشان می‌دهند. غنی‌شدگی LILE و تهی‌شدگی از HFSE (Nb, Ti) از HREE و ویژگی‌های ماقماییسم زون فرورانش است. غنی‌شدگی عناصر LREE نسبت به HREE و غنی‌شدگی Sr و ویژگی‌های (Nb, Ti) از HFSE از ویژگی‌های تهی‌شدگی شدید است. رئوشیمیایی سنگ‌های منطقه مورد مطالعه است.

با توجه به شواهد پتروگرافی تفریق کانی‌های مانند الیوین باعث تهی‌شدگی HREE شده است. در شکل ۷ دیاگرام در ارتباط با الگوی عناصر



شکل ۷ - نمودار عنکبوتی نرمالیز شده سنگ‌های منطقه نسبت به کندریت (Sun and McDouough, 1989)



شکل ۸ - نمودار عنکبوتی نرمالیز شده سنگ‌های منطقه نسبت به گوشته اولیه (Sun and McDouough, 1989)

عناصر خاکی کمیاب در گدازه‌های مختلف روندهای یکسان نشان می‌دهند و سنگ‌های منطقه از عناصر

ماگمایی متفاوت باشد. از طرفی، وجود آنومالی مثبت Pb به متاسوماتیسم گوه گوشه‌ای توسط سیالات ناشی از پوسته اقیانوسی فرورو و یا آلایش ماگما با پوسته قاره‌ای اشاره دارد (Kamber *et al.*, 2002).

نسبت^{*} Eu/Eu* محاسبه شده برای نمونه‌های منطقه مورد مطالعه، همان‌طوری که در جدول ۳ مشاهده می‌شود، همگی کوچک‌تر از ۱ بوده، دارای آنومالی منفی هستند. نسبت^{*} Eu/Eu* بین ۰/۷۵ تا ۰/۹۳ است. دلیل آن جدایش پلازیوکلاز کلسیک از مذاب به وسیله تفریق بلوری است و یا فوگاسیته بالای اکسیژن در محیط تبلور ماگمات است (Rollinson, 1993) که نتیجه آن آنومالی منفی Eu است.

REE و جداشده‌گی نمونه‌های اسیدی می‌توان گفت که تفریق الیوین باعث کاهش و جداشدن عناصر HREE نسبت به نمونه‌های متوسط و LREE بازیک شده است. در حالی که مقدار عناصر LREE هم در این سنگ‌ها افزایش نشان می‌دهد که می‌تواند با مدل تفریق سازگار باشد.

تهی‌شدگی Ti و عناصر مرتبط با آن مانند Zr و از ویژگی‌های ماگماهای کالک‌آلکالن مرتبط با کمان‌های آتشفشانی در مقایسه با ماگماهای کالک‌آلکالن داخل صفحات لیتوسفری است. در ضمن، این تهی‌شدگی می‌تواند بر اثر تفریق کانی‌های آمفیبول و یا فازهای Ti دار مانند ایلمنیت صورت گیرد. با وجود این، مقدار تهی‌شدگی در گروه‌های سنگی مربوط به کمان‌های

جدول ۳- نسبت‌های عناصر کمیاب و اصلی

Sample	La/Ta	Zr/Y	Th/Yb	Ta/Yb	Rb/Y	Nb/Y	La/Nb	Ce/Pb	Nb/La	Th/U	Sr/Ce	Nb/Ta	Ba/Nb
K4	18.4749	2015.646	8.530435	1.304348	8.018519	1.907407	1.907767	4.333333	0.524173	2.802857	7.338462	13.73333	48.00971
K8	289.3396	2641193	3.323529	0.367647	2.596154	0.561538	2.143836	4.975	0.466454	4.053812	6.432161	14.6	44.79452
K10	645.5599	20727385	1.896996	0.257511	2.46473	0.406639	2.316327	5.088889	0.431718	3.745763	12.48908	16.33333	59.59184
K20	483.3522	9681692	2.705357	0.357143	1.162037	0.643519	2.352518	3.5	0.425076	5.008264	12.01681	17.375	44.7482
K26	292.2389	2591045	3.004587	0.366972	1.165919	0.67713	2.317881	3.294737	0.431429	5.15748	11.58147	18.875	45.23179
K33	493.7827	10221078	2.663677	0.313901	1.186047	0.660465	2.28169	3.288889	0.438272	5.076923	12.11149	20.28571	42.46479
K34	534.4401	12542245	2.822511	0.30303	1.137615	0.619266	2.659259	2.790909	0.376045	5.300813	11.44951	19.28571	48.96298
K37	1035.352	70978310	2.875	0.301724	1.153153	0.617117	2.686131	3.080952	0.372283	5.336	11.36012	19.57143	48.90511
K6	35.87775	11552.89	9.298077	1.25	8.45098	2.098039	1.728972	3.76875	0.578378	2.642077	7.794362	16.46154	45.09346

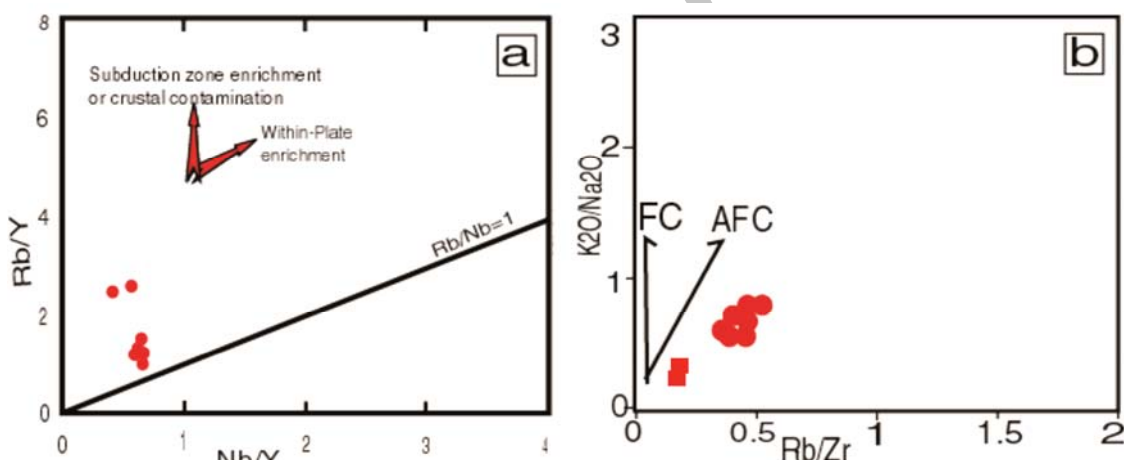
Sample	La/Sm	Ba/La	K/P	A/NK	A/CNK	Nb/Yb	Eu/Eu*	La/Yb	Zr/Nb	Rb/Sr	Nb/Th
K-4	7.77	25.16539	43.60925	1.474972	1.013622	1.45515	0.878	1.657346	0.529763	3.128468	0.169336
K8	3.72	20.89457	13.92507	1.934558	0.936305	2.066162	0.775	2.666015	0.290696	9.171143	0.031697
K10	2.78	25.72687	10.20565	2.477085	0.827237	2.994408	0.884	3.387339	0.260972	12.97971	0.020106
K20	4.24	19.02141	6.656864	2.681926	0.884136	3.033388	0.924	3.282887	0.28146	11.6638	0.024131
K26	4.26	19.51429	6.606813	2.567624	0.864636	2.969603	0.971	3.058293	0.317497	9.632501	0.032961
K33	4.1	18.61111	6.476949	2.674635	0.86893	3.07808	0.93	3.309763	0.280987	11.77907	0.023855
K34	4.67	18.41226	6.709697	2.693807	0.85406	3.154121	0.935	3.373392	0.277169	12.17088	0.022773
K37	4.57	18.20652	6.5512	2.729761	0.847775	3.219912	0.872	3.69256	0.236151	15.63646	0.015103
K6	7.27	26.08108	41.20916	1.573987	1.114806	1.411894	0.793	1.780447	0.445394	3.997465	0.111419

آتشفه‌شانی نسبت داد. در واقع، این آنومالی‌ها در کنار بالا بودن نسبت LILE/HFSE در سنگ‌های آتشفه‌شانی LILE مناطق کمان کالک‌آلکالن در نتیجه ورود اجزای موجود در صفحه فرورونده به درون گوه گوشه‌ای بالای

مقادیر بالای نسبت‌های LREE/HREE و آنومالی منفی LILE/HFSE (TNT) از جمله ویژگی‌های سنگ‌های مورد مطالعه است که می‌توان آن را به سنگ‌های مرتبط با قوس‌های

سنگ‌های آتشفشنانی منطقه بین ۱/۷ تا ۶/۰۶ است که نشان‌دهنده محیط فرورانش است (Pearce, 1983). تغییرات Rb و Nb در سنگ‌های میانه حاصل غنی‌شدگی در زون فرورانش یا آلایش پوسته‌ای است. مانند اینها می‌گیرند، به وسیله پوسته قاره‌ای هنگام بالا آمدن آلوده می‌شوند که از نشانه‌های آن آنومالی منفی Nb و آنومالی مثبت Th است (Thompson *et al.*, 1983). همچنین، بالا بودن نسبت LREE/HREE در سنگ‌های آتشفشنانی منطقه نیز شاخصی از گوشته غنی‌شده به وسیله فرورانش یا احتمال آلایش پوسته‌ای است (Fitton *et al.*, 1991; Barragan *et al.*, 1998)

آن به وجود می‌آیند (Mohamed *et al.*, 2000). فرایند فرورانش نقش موثری در افزایش نسبت LILE/HFSE و LREE/HREE داشته که از ویژگی‌های محیط‌های فرورانش محسوب می‌شود (Zanetti *et al.*, 1999). به منظور تعیین روند غنی‌شدگی عنصری سنگ‌های مورد بررسی در ارتباط با محیط‌های زمین‌ساختی از نمودار Y/Nb در مقابل Y/Rb استفاده شده است (شکل ۹-a). در این دیاگرام، نمونه‌ها بالای خط $Rb/Nb=1$ قرار می‌گیرند که نشان‌دهنده محیط‌های درون پلیت غنی‌شده و محیط فرورانش غنی‌شده یا آلودگی پوسته‌ای است که آرایه نمونه‌ها بیشتر با روند زون فرورانشی غنی‌شده یا آلودگی پوسته‌ای تطابق دارد. نسبت Rb/Nb در

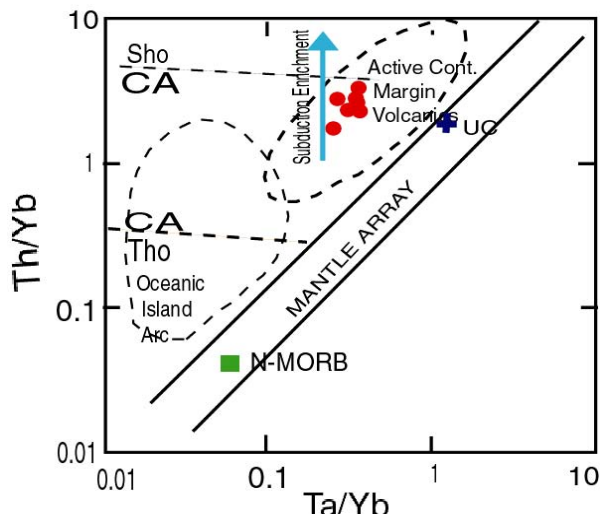


شکل ۹ (a) نمونه‌های محدوده مطالعه روند زون‌های فرورانش غنی‌شده یا آلایش پوسته‌ای را نشان می‌دهند (اقتباس از Pearce, 1983)، (b) همچنین، این نمونه‌ها در محدوده روندهای هضم، تبلور تفریقی و تبلور را نشان می‌دهند (اقتباس از Esperanca و همکاران, 1992). سنگ‌های اسیدی با علامت مریع و سنگ‌های آندزیت بازالتی با علامت دایره مشخص شده‌اند.

با وجود پایین بودن Ce/Pb و بالابودن نسبت U نیز تأیید می‌شود، زیرا Pb و Th در مواد پوسته‌ای متتمرکز می‌شوند. نسبت Ce/Pb در پوسته بالایی ۳/۷ است (Rudnic and Gao, 2004)، در صورتی که این نسبت در نمونه‌های منطقه، محدوده‌ای بین ۲/۷ تا ۵/۰۳ (اکثراً کمتر از ۳/۷) را دارند. نسبت Th/U در پوسته

نسبت‌های عناصر La/Nb و K/P که در نمونه‌ها به ترتیب برابر >7 و $>1/5$ بوده نشان‌دهنده احتمال وجود آلودگی پوسته‌ای است (Abdel-Fattah and Philip, 2004). همچنین، این نسبت‌ها در سنگ‌های آتشفشنانی منطقه (برابر ۶/۵ تا ۴۳ و ۱/۷ تا ۲/۶۸) بوده که آلایش پوسته‌ای را تأیید می‌کند. احتمال انجام آلایش پوسته‌ای

تشکیل آن‌ها در محیط‌های فرورانش (Gill, 1981) است (جدول ۳). از این رو تشکیل این سنگ‌ها را می‌توان به محیط فرورانش در حاشیه فعال قاره‌ای نسبت داد که مذاب هنگام صعود با سنگ‌های پوسته‌ای آلایش حاصل کرده است.



شکل ۱۰- نمودار Th/Yb در برابر Ta/Yb (Pearce, 1983)

بحث و مدل سازی ژئوشیمیایی
به منظور ارائه مدلی قابل قبول از ذوب، از معادلات (Shaw, 1970) و نمودارهای ذوب Aldanmaz و همکاران (۲۰۰۶) استفاده شده است. همچنین، الگوی تلفیقی از O'Nions و McKenzie (1991, 1995) نیز به کار گرفته شده‌اند. در این نمودار که از Zr/Nb در مقابله با La/Yb استفاده شده است، در آن‌ها روند غنی‌شدگی منشأ به همراه منحنی‌های ذوب دسته‌ای برای گارنت لرزولیت در درجات ذوب $/0.1$, $/0.2$, $/0.3$ ٪ نمایش داده شده است (شکل ۱۱). با توجه به این نمودار، نمونه‌های مورد بررسی در نمودار Aldanmaz و همکاران (۲۰۰۶)، این سنگ‌ها ویژگی‌های ترکیبی مشابه با مذاب‌های مشتق شده از گوشته غنی‌شده با حدود ۱ تا ۵ درصد ذوب‌بخشی با منشأ گارنت لرزولیت

بالایی در حدود ۳/۸ است (Rudnick and Gao, 2004) در نمونه‌های مورد مطالعه ۲/۶ تا ۵/۳۳٪ (اکثرآ کمتر از ۳/۸٪) است (جدول ۳). این نسبت‌ها احتمال انجام آلایش با بخش‌های فوقانی پوسته‌ای را نشان می‌دهند. مقادیر پایین نسبت‌های Ce/Pb (غلب کمتر از ۵)، Nb/La (کمتر از ۰/۷) و Sr/Ce بالا (بیش از ۵) در نمونه‌های مورد مطالعه نیز نشانه‌ای از درگیر بودن پوسته و گوشته در مagma‌سازنده بوده است (Jung *et al.*, 2004)

Stolz و همکاران (۱۹۹۶) عقیده دارند که نسبت Nb/Ta کندریتی منبع گوشته‌ای دارد که اگر تحت تأثیر سیالات قرار گیرد، فقر از HFSE (منشأ گرفته از فرورانش) و غنی‌شده از LILE خواهد بود و در این حالت نسبت $\text{Nb}/\text{Ta} > 1$ خواهد شد. این نسبت در سنگ‌های منطقه بین ۱۳/۷۳ تا ۲۰/۰۲ است. مقادیر بالای نسبت Nb/Ta شاخص magma‌های مشتق شده از گوشته‌ای آلوده است (جدول ۳).

در نمونه‌های محدوده مورد مطالعه نسبت‌های یاد شده مشاهده می‌شود که تأییدی بر انجام آلایش پوسته‌ای در مذاب مشتق شده از گوشته است. از طرفی، شواهد ژئوشیمیایی موجود یاد شده در فوق نیز وجود آلایش را پشتیبانی می‌نماید. احتمال تأثیر فرایندهای آلایش با توجه به قرارگیری نمونه‌های مورد مطالعه در محدوده‌های AFC (شکل ۹-*b*) نیز تقویت می‌شود (Esperanca *et al.*, 1992)

نمونه‌های مورد مطالعه ویژگی‌های سنگ‌های جزایر قوسی و حاشیه فعال قاره‌ای (ACM) را نشان می‌دهند (شکل ۹). روندهای موجود در نسبت‌های Ta/Yb و Th/Yb (شکل ۱۰) نیز تأکیدی بر غنی‌شدگی گدازه‌های محدوده فرورانش است. نسبت‌های $\text{Ba}/\text{Nb} > 28$ در نمونه‌های مورد مطالعه نیز شاخص

نسبت Ba/La برای NMORB بین ۴ تا ۱۰، برای EMORB و بیشتر بازالت‌های درون صفحه‌ای ۱۰ تا ۱۵ و برای سنگ‌های آتشفسانی مرز صفحات همگرا بیش از ۱۵ است (Wood, 1980) و مقدار نسبت مذکور در کمان‌های آتشفسانی بیشتر از مناطق کششی و مناطق پشت کمان است (Macdonald *et al.*, 2001).

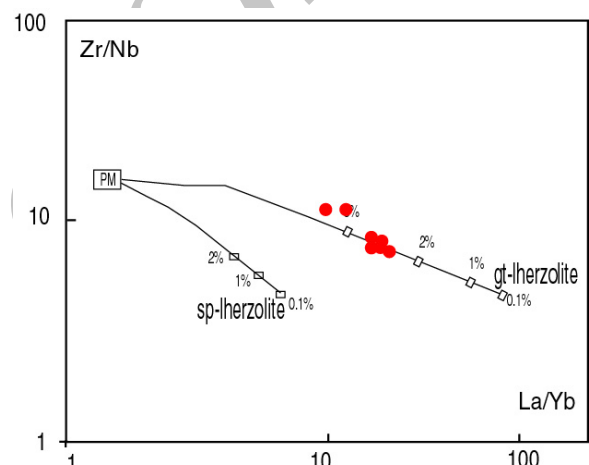
نسبت بالای Ba/La در نمونه‌ها (بالاتر از ۴۵۰) نیز شاخصی از مذاب‌های محیط کمان ماقمایی است (Macdonald *et al.*, 2001). این نسبت در نمونه‌های منطقه قافلان‌کوه بین ۶۵۴-۹۷۳ (برابر ۵۸-۳۴ La/Ta) (Trumbull *et al.*, 1999) نیز این محیط را تأیید می‌کند.

.1999)

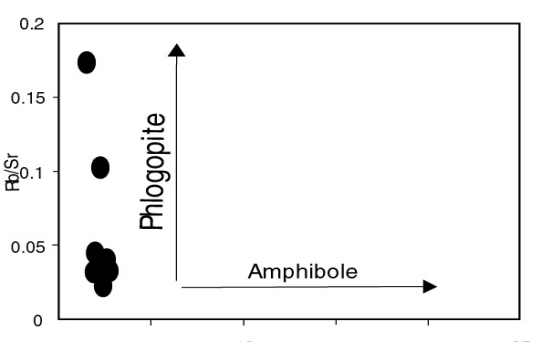
برای تعیین محیط تکتونیکی سنگ‌های منطقه مورد مطالعه از نمودارهای TiO_2/Al_2O_3 در مقابل Zr/Al_2O_3 (Muller and Groves, 1997) استفاده شد (شکل ۱۳-a). این نمونه‌ها در محدوده مرتبط با قوس (arc-related) قرار می‌گیرند.

برای تعیین این‌که سنگ‌های منطقه مورد مطالعه در چه نوع قوس آتشفسانی (قوس قاره‌ای یا قوس اقیانوسی) تشکیل شده‌اند، از نمودار Th/Yb در مقابل Nb/Yb استفاده شده است. بر اساس این نمودارها سنگ‌های منطقه مورد مطالعه در محدوده (Continental arc) واقع می‌شوند (شکل ۱۳-b). نسبت‌های $Zr/Y > 3$ در نمونه‌ها سازگار با گروه قوس‌های آتشفسانی قاره‌ای هستند (جدول ۳). بنابراین، محیط تکتونوماقمایی سنگ‌های مورد مطالعه قوس‌های حاشیه فعال قاره

را نشان می‌دهند. همچنین، وجود فازهای آمفیبول یا فلوگوپیت در منشأ و مذاب نیز بر اساس نسبت‌های Nb/Th و Rb/Sr (شکل ۱۲) را می‌توان بررسی کرد، به‌ویژه که نسبت Nb/Th شاخصی از سازگاری بیشتر عنصر Nb در ترکیب آمفیبول نسبت به فلوگوپیت (Ionov *et al.*, 1997) بوده، نیز تحرک کم این عناصر در طی دگرسانی را نشان می‌دهد. با توجه به این نکته، تنها فاز فلوگوپیت در نمونه‌ها می‌تواند حضور داشته باشد و نسبت پایین Nb/Th نشان‌دهنده عدم حضور فاز آمفیبول در محل منشأ است.



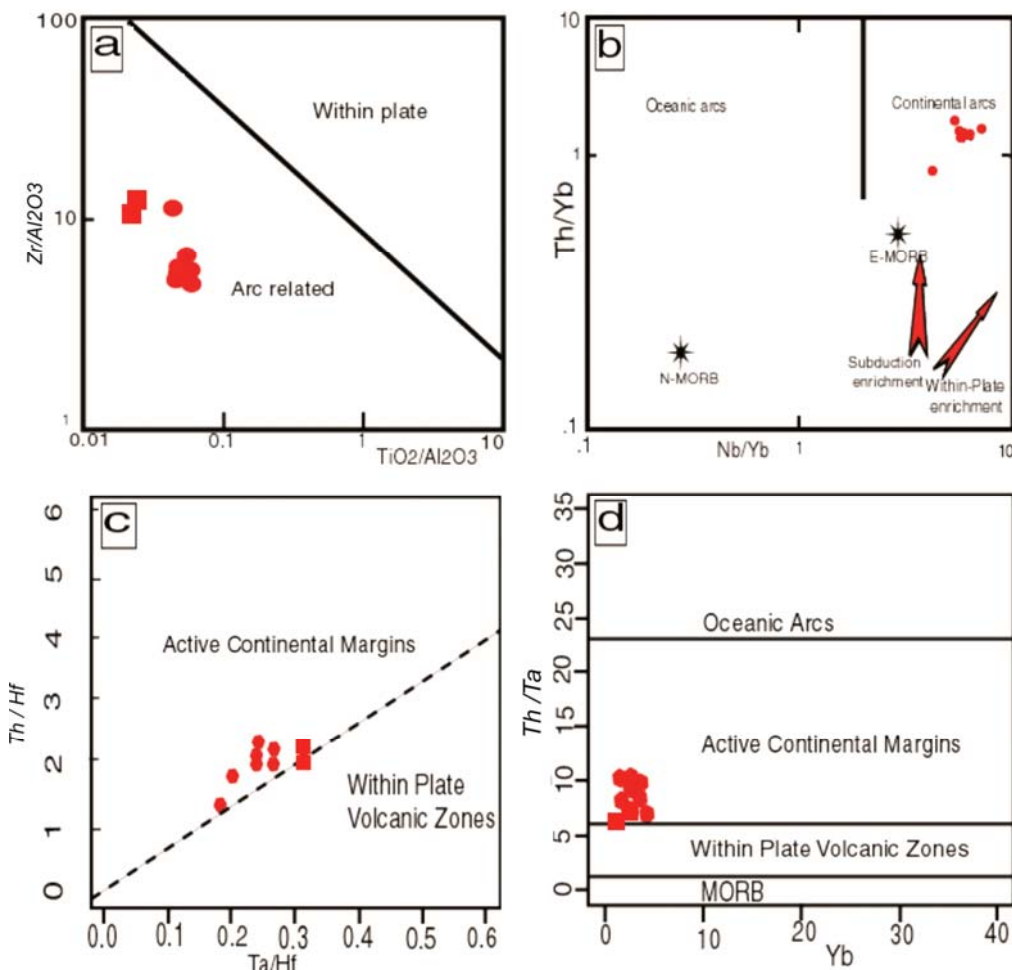
شکل ۱۱- محاسبه میزان درصد ذوب‌بخشی (اقتباس از Aldonmaz و همکاران، ۲۰۰۶) در این نمودارها نمونه‌های محدوده مورد بررسی در محدوده گارنت لرزولیت با ۵-۱ درصد ذوب‌بخشی قرار می‌گیرند.



شکل ۱۲- نمونه‌های محدوده در محدوده وجود فاز فلوگوپیت در منشأ قرار می‌گیرند (Furman and Graham, 1999).

(Rendeng *et al.*, 2006) نیز تأیید می‌شود. با توجه به همراهی گنبدهای ریولیتی با گدازه‌های مورد مطالعه در منطقه، به نظر می‌رسد که نمونه‌ها متعلق به حاشیه فعال قاره هستند.

ناشی از فرورانش (Active continental margin) بوده است (شکل‌های ۱۳-*c* و ۱۳-*d*). این نکته با وجود سنگ‌های سیلیسی (داسیتی-ریولیتی) به صورت مواد آذآواری در حاشیه فعال قاره



شکل ۱۳-*a*) تشخیص محیط‌های تکتونیکی نمونه‌های محدوده مورد مطالعه در محدوده مرتبط با کمان (اقتباس از Muller و Groves, ۱۹۹۷)،
کمان‌های قاره‌ای و فرورانشی غنی‌شده (اقتباس از Sun و McDonough, ۱۹۸۹).
شکل ۱۳-*b*) حواشی فعال قاره‌ای قرار می‌گیرند (اقتباس از Gorton و Schandl, ۲۰۰۲). سنگ‌های اسیدی با علامت مربع و سنگ‌های آندزیت بازالتی با علامت دایره مشخص شده‌اند.

هستند. کانی‌های اصلی سنگ‌ها، شامل پلاژیوکلاز، پیروکسن، سانیدین و کانی‌های فرعی، شامل الیوین، هورنبلند و بیوتیت، که به صورت فنوکریست هستند. بافت غربالی و زونینگ و سرسیته شدن در پلاژیوکلاز، ایدینگزیته شدن و بافت گلوموپوروفیریک در الیوین‌ها،

نتیجه‌گیری

سنگ‌های آتشفشانی شامل آندزیت بازالتی، داسیت و ریولیت هستند که به طور متناوب با سنگ‌های آذرآواری رخنمون دارند. نمونه‌های مطالعه شده دارای بافت میکرولیتیک پورفیری، پورفیری و هیالوپورفیری

بوده، پایین بودن Ce/Pb و بالابودن نسبت Th/U در نمونه‌های منطقه، همچنین، مقدار پایین نسبت‌های Nb/La (کمتر از ۰/۷) و Sr/Ce بالا (بیش از ۵) است. این سنگ‌ها ویژگی‌های ترکیبی مشابه با مذاب‌های مشتق‌شده از گوشه غنی‌شده با حدود ۱ تا ۵ درصد ذوب‌بخشی با منشأ گارنت‌لرزولیت را نشان می‌دهند. تغییرات نسبت Rb/Nb و Th/Sr در این سنگ‌ها شاخصی از احتمال وجود فاز فلوگوپیت در منشأ است. از نظر محیط تکتونیکی تشکیل، این سنگ‌های در محدوده کمان ماقمایی و حاشیه فعال قاره قرار می‌گیرند. این نکته با وجود سنگ‌های سیلیسی (داسیتی-‌ریولیتی) به صورت مواد آذرآواری در حاشیه فعال قاره نیز تأیید می‌شود.

سپاسگزاری

از آقای دکتر مؤذن به خاطر راهنمایی‌ها و پیشنهادهای ارزنده ایشان تشکر و سپاسگزاری می‌کنیم.

ماکل در پیروکسن‌ها و اپاسیته شدن هورنبلند در نمونه‌های داسیتی بر اثر ناپایداری آمفیبول و کاهش فشار بخار آب در سنگ‌های منطقه دیده می‌شوند. با توجه به شواهد به دست آمده، سرشت ماقمایی سنگ‌های منطقه کالک‌آلکالن تا شوشونیتی است. الگوی عناصر کمیاب حاکی از غنی‌شدگی از عناصر کمیاب HREE سبک LREE نسبت به عناصر کمیاب سنگین آنومالی است. روند تغییرات عناصر کمیاب هم‌رونده بوده که این امر بر هم منشأ بودن آن‌ها دلالت می‌کند. مقدار بالای نسبت‌های LILE/HFSE و LREE/HREE منفی TNT از جمله ویژگی‌های سنگ‌های مورد مطالعه است که می‌توان آن را به سنگ‌های مرتبط با قوس‌های آتش‌شانی نسبت داد. غنی‌شدگی LILE و تهی‌شدگی از HFSE و HREE از ویژگی‌های ماقمایی‌سم زون فرورانش است. شاخص‌های احتمالی آلبیش پوسته‌ای در سنگ‌های مورد مطالعه، شامل نسبت‌های عناصر La/Nb و K/P ۶/۵ و ۱/۷ تا ۴۳ و ۲/۶۸ که برابر

منابع

- آقانباتی، ع. (۱۳۸۳) زمین‌شناسی ایران. سازمان زمین‌شناسی و اکتشافات معدنی کشور، تهران، ایران.
- باباخانی، ع. (۱۳۷۵) نقشه زمین‌شناسی ۱:۱۰۰۰۰۰ میانه. سازمان زمین‌شناسی و اکتشافات معدنی کشور، تهران، ایران.
- حاج‌علیلو، ب. (۱۳۸۵) اکتشافات مقدماتی کانی‌ها و سنگ‌های نیمه‌قیمتی در استان آذربایجان شرقی. طرح پژوهشی دانشگاه پیام‌نور تبریز، آذربایجان شرقی، ایران.
- کمالی، ا. ا. (۱۳۸۹) بررسی پترولوزی و پتروگرافی منطقه آتش‌شانی شمال روستای قوقاک عمولر، جنوب شرق میانه (شمال غرب ایران). پایان‌نامه کارشناسی ارشد، دانشگاه تبریز، آذربایجان شرقی، ایران.
- کمالی، ا. ا.، پیروج، ه. و حیدری، م. (۱۳۸۹) پتروگرافی، ژئوشیمی سنگ‌های آتش‌شانی قلعه‌دختر میانه (شمال غرب ایران). چهارمین همایش ملی زمین‌شناسی پیام‌نور مشهد، مشهد، خراسان رضوی، ایران.
- کمالی، ا. ا.، مؤید، م.، عامری، ع.، جهانگیری، ا.، عامل، ن.، پیروج، ه. و نیک‌خواه، ط. (۱۳۸۹) مطالعه پترگرافی، ژئوشیمی سنگ‌های آتش‌شانی قره زیارت میانه (شمال غرب ایران). هجدهمین همایش انجمن بلورشناسی و کانی‌شناسی ایران، تبریز، آذربایجان شرقی، ایران.

- لطفی، م. (۱۳۵۴) بررسی‌های زمین‌شناسی و پترولولژی منطقه‌ی شمال - شمال شرق میانه (آذربایجان خاوری). پایان‌نامه کارشناسی ارشد زمین‌شناسی، دانشگاه تهران، تهران، ایران.
- نبوی، م. ح. (۱۳۵۵) دیباچه‌ای بر زمین‌شناسی ایران. سازمان زمین‌شناسی و اکتشافات معدنی کشور، تهران، ایران.
- Abdel-Fattah, M. A. and Philip, E. N. (2004) Cenozoic volcanism in the Middle East: petrogenesis of alkali basalts from northern Lebanon. *Geological Magazine* 141(5): 545–563.
- Alavi, M., Vaziri, H., Seyed-Emami, K. and Lasemi, Y. (1997) Triassic and associated rocks of the Nakhlak and Aghdarband areas in central and northeastern Iran as remnant of the southern Turanian active continental margin. *Geological Society of America Bulletin* 109: 1563-1575.
- Aldanmaz, E., Koprubasi, N., Gurer, O. F., Kaymakci, N. and Gouraud, A. (2006) geochemical constraints on the Cenozoic, OIB-type alkaline volcanic rocks of NW Turkey: implications for mantle sources and melting processes. *Lithos* 86(1–2): 50–76.
- Barragan, R., Geist, D., Hall, M. , Larson, P. and Kurz, M. (1998) Subduction controls on the composition of lavas from the Ecuadorian Andes. *Earth Planet Scientific Letters* 154: 153–166.
- Esperanca, S., Crisci, M., de Rosa, R. and Mazzuli, R. (1992) The role of the crust in the magmatic evolution of the island Lipari (Aeolian Islands, Italy). *Contributions to Mineralogy and Petrology* 112: 450-462.
- Fitton, J. F., James, D. and Leeman, W. P. (1991) Basic magmatism associated with Late Cenozoic extension in the Western United States: compositional variations in space and time. *Journal of Geophysical Research* 96: 13693–13711.
- Furman, T. and Graham, D. (1999) Erosion of lithospheric mantle beneath the East African Rift system: geochemical evidence from the Kilvu volcanic province. *Lithos* 48: 237-262.
- Gill, J. B. (1981) Orogenic Andesites and Plate Tectonics. Springer-Verlag, Berlin, Heidelberg, New York.
- Gorton, M. P. and Schandl, E. S. (2000) from continents to island arcs: A geochemical index of tectonic setting for arc-related and within-plate felsic to intermediate volcanic rocks. *Canadian Mineralogist* 38: 1065-1073.
- Gouraud, A. and Vincent P. M. (2003) Petrology of two continental alkaline intraplate series at Emi Koussi volcano, Tibesti, Chad. *Journal of Volcanology and Geothermal Research* 129: 261-290.
- Ionov, D. A. and Hofmann, A. W. (1997) Nb-Ta rich mantle amphiboles and micas: implication for subduction-related metasomatic trace element fractionations. *Earth Planet Scientific Letters* 131: 341-356.
- Jahangiri, A. (2007) Post collisional Miocene adakitic volcanism in NW Iran: Geochemical and Geodynamic implications. *Journal of Asian Earth Sciences* 30: 433-447.
- Jung, S., Mezger, K. and Hoernes, S. (2004) Shear zone- related syenites in the Damara belt (Namibia): the role of crustal contamination and source composition. *Contributions to Mineralogy and Petrology* 148: 104- 121.
- Kamali, A. A., Ameri, A., Moayyed, M., Pirooj, H., Mehri, M. and Nickhah, T. (2010) Asymmetrical effect of fluid on the mineralogical, geochemical and fabric changing of perlites and bedded rocks of NW of Iran (SE of Mianeh Area). The First International Applied Geological Congress, Mashhad, Iran.
- Kamber, B. S., Ewart, A., Collerson, K. D., Bruce, M. C. and McDonald, G. D. (2002) Fluid-mobile trace element constraints on the role of slab melting and implications for Archaean crustal growth models. *Contributions to Mineralogy and Petrology* 144: 38–56.

- Krauskopf, K. P. and Bird, D. K. (1976) *Introduction to geochemistry*. McGraw Hill.
- Le Bas M. J., Le Maitre R.W., Streckeisen A., Zanetting B. (1986) A chemical classification of volcanic rocks based on the total alkali-silica diagram. *Journal of Petrology* 27: 745-750
- Macdonald, R., Hawkesworth, C. J. and Heath, E. (2001) The Lesser Antilles volcanic chain: a study in arc magmatism. *Earth Science Reviews* 49: 1-76.
- McKenzie, D. P. and O'Nions, R. K. (1991) Partial melt distribution from inversion of rare earth element concentrations. *Journal of Petrology* 32: 1021-1091.
- McKenzie, D. P. and O'Nions, R. K. (1995) the source regions of Ocean Island Basalts. *Journal of Petrology* 36: 133-159.
- Mohamed, F. H., Moghazi, A. M. and Hassanen, M. A. (2000) Geochemistry, petrogenesis and tectonic setting of late Neoproterozoic Dokhan-type volcanic rocks in the Fatira area, eastern Egypt. *International Journal of Earth Science* 88: 764-777.
- Muller, D., Rock, N. M. S., Groves, D. I. (1997) Geochemical discrimination between shoshnitic potassic volcanic rocks from different tectonic setting: a pilot study. *Mineralogy and Petrology* 259-287.
- Nelson, S. T. and Montana A. (1992) Sieve texture plagioclase in volcanic rocks produce by rapid decompression. *American Mineralogist* 77: 1242- 1249.
- Pearce, J. A. (1982) Trace element characteristics of lavas from destructive plate boundaries. In: R. S. Trorpe (Ed.): *Andesite*. Wiley Chichester.
- Pearce, J. A. (1983) Role of the sub-continental lithosphere in magma genesis at active continental margin. In: C. J., Hawkesworth and M. J., Norry (Eds.): *Continental Basalts and Mantle Xenoliths*. Shiva, Nantwich 230–249.
- Rendeng, S., Jingsui, Y., Cailai, W., Iizuka, T. and Hirata, T. (2006) Island arc volcanic rocks in the north Qaidam UHP belt, northern Tibet plateau: Evidence for ocean–continent subduction preceding continent–continent Subduction. *Journal of Asian Earth Sciences* 28: 151-159.
- Rollinson, H. R. (1993) *Using Geochemical Data: Evaluation, Presentation, Interpretation*. John Wiley and Sons Inc, New York.
- Rudnic, R. L. and Gao, S. (2004) Composition of the continental crust. In: R. L., Rudnic (Ed.): *Treatise on Geochemistry, the Crust*. Elsevier Pergamon.
- Shand, S. J. (1943) *Eruptive rocks: Their genesis, composition, Classification and their relation to Ore – deposits*, 3rd edition. John Wiley Sons, New York.
- Shaw, D. M. (1970) Trace element fractionation during anatexis. *Geochimica et Cosmochimica Acta* 34: 237-243.
- Soesoo, A. (2000) Fraction crystallization of mantle derived melt as a mechanism for some I-Type granite petrogenesis: An example from Lachlan fold belts. *Australia Journal of the geological Society London*.
- Stewart, M. L. and Pearce, T. H. (2004) Sieve-textured plagioclase in dacitic magma: Interference imaging results. *American Mineralogist* 89: 348-351.
- Stoltz, A. J., Jochum, K. P., Spettel, B., Hofmann, A. W. (1996) Fluid and melt related enrichment in the sub arc mantle: evidence from Nb/Ta variations in island arc basalts. *Geology* 24: 587–590.
- Sun, S. S. and McDonough, W. F. (1989) Chemical and isotopic systematic of basalt: implications for mantle composition and processes. In: A. D., Saunders and M. J., Norry (Eds.): *Magmatism in ocean basins*. Geology Society Special Publication London 42: 313-345.

- Thompson, R. N., Morrison, M. A., Dickin, A. P. and Hendry, G. L. (1983) Continental flood basalts. In: C. J., Hawkesworth and M. J., Norry (Eds.): *Continental Basalts and Mantle Xenoliths*. Shiva, Nantwich 158–185.
- Trumbull, R. B., Wittenbrink, R., Hahne, K., Emmermann, R. , Busch, W., Gerstenberger, H. and Siebel, W. (1999) Evidence for Late Miocene to Recent contamination of arc andesites by crustal melts in the Chilean Andes ($25\text{--}26^{\circ}\text{S}$) and its geodynamic implications. *Journal of South American Earth Science* 12: 135-155.
- Winter, J. D. (2001) *An introduction to Igneous and Metamorphic Petrology*. Prentice Hall.
- Wood, D. A. (1980) The application of a Th-Hf-Ta diagram to problems of tectonomagmatic classification and to establishing the nature of crustal contamination of basaltic lavas of the British Tertiary volcanic province. *Earth Planet Scientific Letters* 50: 11-30.
- Zanetti, A., Mazzucchelli, M., Rivalenti, G. and Vannucci, R. (1999) The Finero phlogopite-peridotite massif: an example of subduction-related metasomatism. *Contributions to Mineralogy and Petrology* 134: 107-122.

The petrography and geochemistry of volcanic rocks of Ghaflankuh, Myaneh (NW Iran)

Amin Allah Kamali, Mohssen Moayyed *, Ahmad Jahangiri
Nasir Amel, Hadi Pirooj and Ali Ameri

Department of Geology, Faculty of Natural Sciences, University of Tabriz, Tabriz, Iran

Abstract

The study area is a part of the western Alborz-Azrbaijan magmatic belt. The main outcrops in Ghaflankuh are including alternative andesite lava, andesite-basalt, trachy-andesite and related tuffs. This sequence is covered by acidic domes and in some areas by acidic lavas and ignimbrites. Olivine, clinopyroxene, hornblende, biotite, plagioclase, quartz and sanidin are the major minerals of the studied rocks, displaying hyalo-porphyric, microlithic and porphyry and glomeroporphry textures. The mafic to intermediate lavas have andesite-basalt and felsic rocks have rhyolitic composition. The mafic to intermediate magmas are low-K and metaluminous with significant enrichment in LREE in compare to HREE, as well as Sr, K and display depletion in Pb, P, Pr, Zr, Y, Nb and Ti. The negative anomaly of Ta, Nb, and Ti in these rocks is similar to subduction related rocks. These lavas are produced from differentiation of magma derived from enriched-mantle with 1-5 percent partial melting of garnet-lehrzolite. The variations of Rb/Sr, Nb/Th imply for the presence of phlogopite (glimeritic veins) in the source. The high ratios of K/P (6.5-43) and La/Nb (1.7-2.8) point to contamination of magma with crustal materials. This sequence is evolved in an active continental arc environment.

Key words: Ghaflankuh, Andesite-basalt, Subduction, Partial melting, Contamination

* moayyed@tabrizu.ac.ir